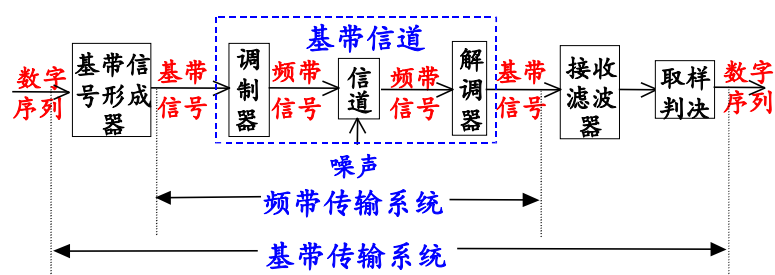


第六章

数字基带传输系统

6.1 引言

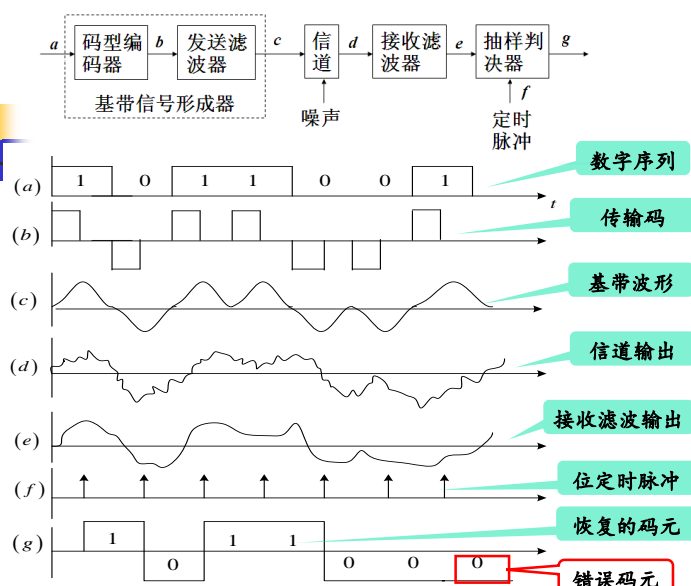
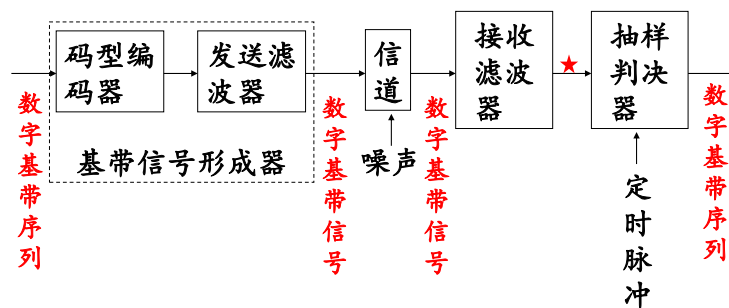
■ 数字传输系统



主要内容

- 数字基带传输系统模型
- 数字基带信号及其频域特性
- 基带传输的常用码型
- 码间干扰和奈奎斯特第一准则
- 无码间干扰的传输特性
- 无码间干扰的基带系统抗噪性能

■ 数字基带传输系统模型



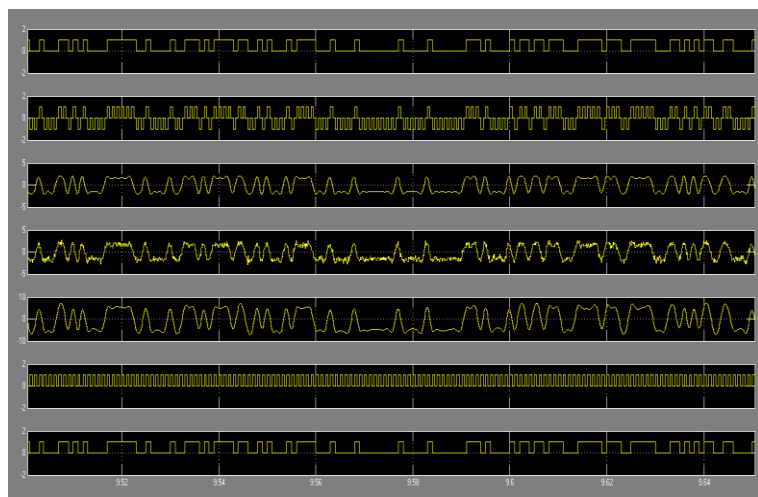
■ 主要研究问题

- 码型设计—选择传输码型
- 波形设计—选择基带波形
- 接收滤波器设计—使输出信噪比最大，误码率最低

频带传输的基本问题

- 调制解调方法
- 输出信噪比最大，误码率最低

数字基带传输信号仿真



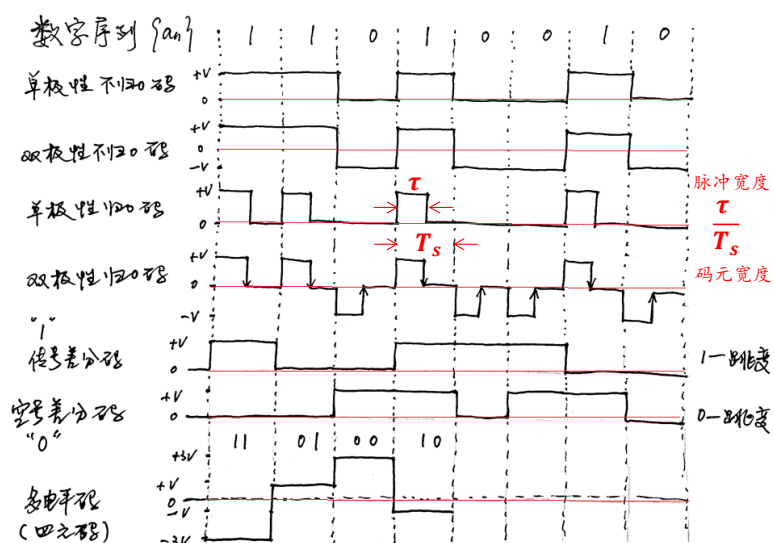
■ 传输码型设计要求

- **功率谱密度**: 无直流少低频, 功率谱集中在信道通频带附近, 并尽量节省传输频带
- **定时信息**: 线路码中应含有丰富的定时信息, 用于抽样判决
- **统计特性**: 与信源的统计特性无关
- **误码扩散**: 减小误码扩散
- **检错能力**: 有内在检错能力
- **编码简单**: 降低成本

6.2 数字基带信号及其频域特性

一. 数字基带信号

- 单极性和双极性码
- 归零和不归零码
- 二元码和多元码
- 绝对码和相对码



■ 单极性不归零码

- “1”—正电位; “0”—0电位
- 极性单一; 脉冲宽度占满整个码元周期
- 有直流分量

■ 双极性不归零码

- “1”—正电位; “0”—负电位
- 脉冲宽度占满整个码元周期
- 当“1”和“0”等概率出现时无直流分量
- 可能出现长“0”或长“1”, 不利提取定时

■ 单极性归零码

- “1”—正脉冲; “0”—0电位
- 极性单一; 每个脉冲宽度不占满整个码元周期, 占空比: τ/T
- 含直流分量

■ 双极性归零码

- “1”—正脉冲; “0”—负脉冲
- 兼有双极性和归零码的特点
- 接收端很容易识别出每个码元的起止时刻, 便于提取定时信息

■ 相对码

- 脉冲波形本身代表码元取值为绝对码；以前后码元波形变化代表码元取值为相对码
- 传号差分码：“1”—电压跳变；“0”—无跳变
- 空号差分码：“0”—电压跳变；“1”—无跳变

■ 多元码

- 二元码：一个码元有两种波形表示，即二电平波形
- 多元码：一个码元有多种波形表示，即多电平波形

$$P_{\xi}(\omega) = \lim_{T \rightarrow \infty} \frac{E[|F_T(\omega)|^2]}{T}$$

■ 推导过程*

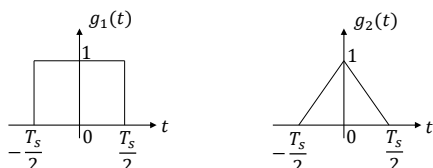
■ 时域假设

- 设一个二进制的随机脉冲序列

$$s(t) = \sum_{n=-\infty}^{\infty} s_n(t)$$

■ T_s — 码元宽度

- “0” — $g_1(t)$ ； “1” — $g_2(t)$

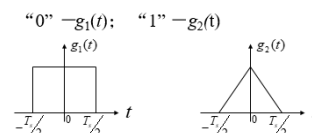


二. 基带信号的频域特性

- 数字基带信号可看作是一个**随机脉冲序列**，分析其频域特性就是分析随机过程的功率谱

■ 方法

- 由平稳的随机序列的自相关函数通过付氏变换找到功率谱
- 从随机过程功率谱的原始定义出发，求出数字随机序列的功率谱



- 设 $g_1(t)$ 出现的概率为 P ， $g_2(t)$ 出现的概率为 $1-P$ ，且 0 和 1 的出现是随机的，并统计独立

$$\text{第 } n \text{ 个码元: } s_n(t) = \begin{cases} g_1(t-nT_s) & 0, P \\ g_2(t-nT_s) & 1, 1-P \end{cases}$$

$$s_T(t) = \sum_{n=-N}^N s_n(t) \quad T = (2N+1)T_s$$

■ 则 $s(t)$ 的功率谱

$$P_s(\omega) = \lim_{T \rightarrow \infty} \frac{E[|s_T(\omega)|^2]}{T} = \lim_{N \rightarrow \infty} \frac{E[|s_T(\omega)|^2]}{(2N+1)T_s}$$

$$P(\omega) = 2\pi \sum_{n=-\infty}^{\infty} |F_n|^2 \delta(\omega - n\omega_s)$$

■ 稳态波 $v(t)$ 的功率谱

- 稳态波 $v(t)$ 是随机脉冲序列 $s(t)$ 的统计平均，求周期信号的功率谱

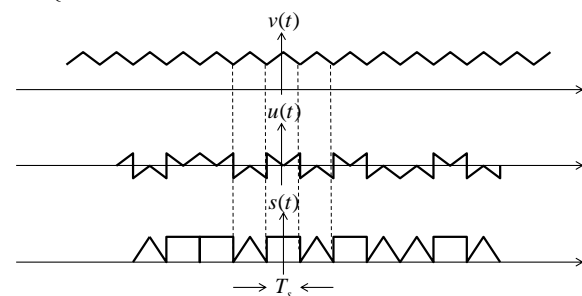
$$\begin{aligned} v(t) &= E[s(t)] = E\left[\sum_{n=-\infty}^{\infty} s_n(t)\right] \\ &= \sum_{n=-\infty}^{\infty} [Pg_1(t-nT_s) + (1-P)g_2(t-nT_s)] \end{aligned}$$

■ 其中

$$s_n(t) = \begin{cases} g_1(t-nT_s) & 0 & P \\ g_2(t-nT_s) & 1 & 1-P \end{cases}$$

- 将随机脉冲序列 $s(t)$ 看作两部分信号的叠加

$$\begin{cases} v(t): \text{稳态波} \rightarrow \text{周期信号} \rightarrow \text{离散谱} \\ u(t): \text{交变波} \rightarrow \text{非周期信号} \rightarrow \text{连续谱} \end{cases}$$



$$v(t) = \sum_{n=-\infty}^{\infty} [Pg_1(t - nT_s) + (1 - P)g_2(t - nT_s)]$$

$$C_m = f_s [PG_1(mf_s) + (1 - P)G_2(mf_s)]$$

■ $v(t)$ 的功率谱推导

- $v(t)$ 是周期为 T_s 的周期信号，可用傅里叶级数展开

$$\begin{aligned} v(t) &= \sum_{m=-\infty}^{\infty} C_m e^{jm\omega_s t} \quad \omega_s = \frac{2\pi}{T_s} \\ C_m &= \frac{1}{T_s} \int_{-T_s/2}^{T_s/2} v(t) e^{-jm\omega_s t} dt = \frac{1}{T_s} \int_{-T_s/2}^{T_s/2} [Pg_1(t) + (1 - P)g_2(t)] e^{-jm\omega_s t} dt \\ &= \frac{1}{T_s} \int_{-\infty}^{\infty} [Pg_1(t) + (1 - P)g_2(t)] e^{-jm\omega_s t} dt \\ &= \frac{P}{T_s} \int_{-\infty}^{\infty} g_1(t) e^{-jm\omega_s t} dt + \frac{1 - P}{T_s} \int_{-\infty}^{\infty} g_2(t) e^{-jm\omega_s t} dt \\ &= \frac{P}{T_s} G_1(m\omega_s) + \frac{1 - P}{T_s} G_2(m\omega_s) \\ &= f_s [PG_1(mf_s) + (1 - P)G_2(mf_s)] \end{aligned}$$

- 由周期信号的功率谱

$$P(\omega) = 2\pi \sum_{n=-\infty}^{\infty} |F_n|^2 \delta(\omega - n\omega_s)$$

- 得 $v(t)$ 的功率谱

$$\begin{aligned} P_v(f) &= \sum_{m=-\infty}^{\infty} |C_m|^2 \delta(f - mf_s) \\ &= \sum_{m=-\infty}^{\infty} f_s^2 |PG_1(mf_s) + (1 - P)G_2(mf_s)|^2 \cdot \delta(f - mf_s) \end{aligned}$$

- 稳态波的功率谱是离散谱

■ 交变波 $u(t)$ 的功率谱推导

- 思路

$$P_u(\omega) = \lim_{T \rightarrow \infty} \frac{E[|U_T(\omega)|^2]}{T}$$

- 时域表达式

$$\begin{aligned} u(t) &= s(t) - v(t) \\ &= \sum_{n=-\infty}^{\infty} s_n(t) - \sum_{n=-\infty}^{\infty} [Pg_1(t - nT_s) + (1 - P)g_2(t - nT_s)] \\ &= \sum_{n=-\infty}^{\infty} [s_n(t) - Pg_1(t - nT_s) - (1 - P)g_2(t - nT_s)] \\ &= \sum_{n=-\infty}^{\infty} u_n(t) \end{aligned}$$

- 由前假设 $s_n(t) = \begin{cases} g_1(t - nT_s) & 0 \\ g_2(t - nT_s) & 1 - P \end{cases}$

- 当第 n 个码元为 0 时

$$\begin{aligned} u_n(t) &= g_1(t - nT_s) - Pg_1(t - nT_s) - (1 - P)g_2(t - nT_s) \\ &= (1 - P)[g_1(t - nT_s) - g_2(t - nT_s)] \end{aligned}$$

- 当第 n 个码元为 1 时

$$\begin{aligned} u_n(t) &= g_2(t - nT_s) - Pg_1(t - nT_s) - (1 - P)g_2(t - nT_s) \\ &= -P[g_1(t - nT_s) - g_2(t - nT_s)] \end{aligned}$$

- 得 $u_n(t) = a_n[g_1(t - nT_s) - g_2(t - nT_s)]$

- 即: $a_n = \begin{cases} 1 - P & P \\ -P & 1 - P \end{cases}$

$$u(t) = \sum_{n=-\infty}^{\infty} u_n(t) = \sum_{n=-\infty}^{\infty} a_n [g_1(t - nT_s) - g_2(t - nT_s)]$$

- 将 $u(t)$ 截短为能量信号求频谱

$$\begin{aligned} u_T(t) &= \sum_{n=-N}^N u_n(t) \quad T = (2N + 1)T_s \\ U_T(\omega) &= \int_{-\infty}^{\infty} u_T(t) e^{-j\omega t} dt \\ &= \int_{-\infty}^{\infty} \sum_{n=-N}^N a_n [g_1(t - nT_s) - g_2(t - nT_s)] e^{-j\omega t} dt \\ &= \sum_{n=-N}^N a_n \left[\int_{-\infty}^{\infty} g_1(t - nT_s) e^{-j\omega t} dt - \int_{-\infty}^{\infty} g_2(t - nT_s) e^{-j\omega t} dt \right] \\ &= \sum_{n=-N}^N a_n [G_1(\omega) - G_2(\omega)] e^{-j\omega nT_s} \end{aligned}$$

$$\begin{cases} m \neq n & E[a_m a_n] = 0 \\ m = n & E[a_m a_n] = P(1 - P) \end{cases} \quad U_T(\omega) = \sum_{n=-N}^N a_n [G_1(\omega) - G_2(\omega)] e^{-j\omega nT_s}$$

- 则: $|U_T(\omega)|^2 = U_T(\omega) \cdot U_T^*(\omega)$

$$\begin{aligned} &= \sum_{m=-N}^N a_m [G_1(\omega) - G_2(\omega)] e^{-j\omega mT_s} \cdot \sum_{n=-N}^N a_n [G_1^*(\omega) - G_2^*(\omega)] e^{j\omega nT_s} \\ &= \sum_{m=-N}^N \cdot \sum_{n=-N}^N a_m a_n e^{j\omega(n-m)T_s} [G_1(\omega) - G_2(\omega)] [G_1^*(\omega) - G_2^*(\omega)] \end{aligned}$$

- 再求统计平均

$$\begin{aligned} E[|U_T(\omega)|^2] &= \sum_{m=-N}^N \cdot \sum_{n=-N}^N E[a_m a_n] \cdot e^{j\omega(n-m)T_s} [G_1(\omega) - G_2(\omega)] [G_1^*(\omega) - G_2^*(\omega)] \\ \because E[a_m a_n] &= E[a_n^2] = P(1 - P) \quad = \sum_{n=-N}^N P(1 - P) |G_1(\omega) - G_2(\omega)|^2 \\ &= (2N + 1)P(1 - P) |G_1(\omega) - G_2(\omega)|^2 \end{aligned}$$

$$E[|U_T(\omega)|^2] = (2N+1)P(1-P)|G_1(\omega) - G_2(\omega)|^2$$

■ 则 $u(t)$ 的功率谱

$$\begin{aligned} P_u(\omega) &= \lim_{T \rightarrow \infty} \frac{E[|U_T(\omega)|^2]}{T} \\ &= \lim_{N \rightarrow \infty} \frac{(2N+1)P(1-P)|G_1(\omega) - G_2(\omega)|^2}{(2N+1)T_s} \\ &= \frac{1}{T_s} P(1-P)|G_1(\omega) - G_2(\omega)|^2 \end{aligned}$$

■ 即:

$$P_u(f) = f_s \cdot P(1-P)|G_1(f) - G_2(f)|^2$$

■ 交变波的功率谱是连续谱

$$\begin{aligned} P_s(f) &= P_v(f) + P_u(f) \\ &= f_s^2 \sum_{m=-\infty}^{\infty} |PG_1(mf_s) + (1-P)G_2(mf_s)|^2 \delta(f - mf_s) \\ &\quad + f_s \cdot P(1-P)|G_1(f) - G_2(f)|^2 \end{aligned}$$

举例

■ 单极性波形功率谱

■ 设 “0” $\rightarrow g_1(t) = 0$, “1” $\rightarrow g_2(t) = g(t)$

$$\begin{cases} g_1(t) \Leftrightarrow G_1(f) = 0 & P \\ g_2(t) \Leftrightarrow G_2(f) = G(f) & 1-P \end{cases}$$

■ 功率谱

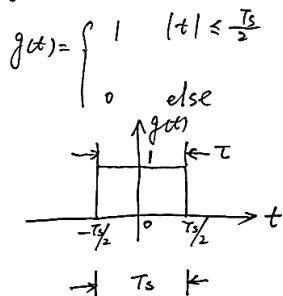
$$P_s(f) = f_s^2 (1-P)^2 \sum_{m=-\infty}^{\infty} |G(mf_s)|^2 \delta(f - mf_s) + f_s \cdot P(1-P)|G(f)|^2$$

■ 0、1等概时

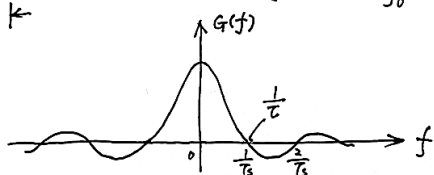
$$P_s(f) = \frac{1}{4} f_s^2 \sum_{m=-\infty}^{\infty} |G(mf_s)|^2 \delta(f - mf_s) + \frac{1}{4} f_s |G(f)|^2$$

■ 推导

若 $g(t)$ 是不归0的矩形脉冲



$$\begin{aligned} g(t) &= \begin{cases} 1 & |t| \leq \frac{T_s}{2} \\ 0 & \text{else} \end{cases} \Leftrightarrow G(\omega) = T_s \text{Sa}(\frac{\omega T_s}{2}) \\ \neq 0 \text{ 点: } \omega &= \frac{2k\pi}{T_s} \quad k = \pm 1, \pm 2, \dots \\ G(f) &= T_s \text{Sa}(\pi f T_s) = T_s \text{Sa}(\pi f T_s) \\ \neq 0 \text{ 点: } \pi f T_s &= k\pi, f = \frac{k}{T_s} \\ \text{第一过0点: } f_0 &= \frac{1}{T_s} = \frac{1}{T_s} \end{aligned}$$



■ 基带信号 $s(t)$ 的功率谱

$$\begin{aligned} P_s(f) &= P_v(f) + P_u(f) \\ &= f_s^2 \sum_{m=-\infty}^{\infty} |PG_1(mf_s) + (1-P)G_2(mf_s)|^2 \delta(f - mf_s) \\ &\quad + f_s \cdot P(1-P)|G_1(f) - G_2(f)|^2 \end{aligned}$$

■ 连续谱 $P_u(f)$: 总存在, 决定基带信号的带宽

■ 离散谱 $P_v(f)$: 不一定存在, 决定直流和定时

■ $m=0$ 表示直流功率谱

■ $m=\pm 1$ 表示基波 f_s 的功率谱

■ $|m| > 1$ 表示谐波 mf_s 的功率谱

■ $p = \frac{1}{2}, g_1(t) = -g_2(t)$, 即等概率双极性波形不含离散谱

$$P_s(f) = \frac{1}{4} f_s^2 \sum_{m=-\infty}^{\infty} |G(mf_s)|^2 \delta(f - mf_s) + \frac{1}{4} f_s |G(f)|^2$$

$$G(f) = T_s \text{Sa}(\pi f T_s)$$

■ 0、1等概的**单极不归零**波形功率谱 (1码的波形是全占空的矩形脉冲) $\tau = T_s$

■ 离散谱 $P_v(f) = \frac{1}{4} \delta(f)$

■ 连续谱 $P_u(f) = \frac{1}{4} T_s \text{Sa}^2(\pi f T_s)$

■ 有直流, 无定时, 以主瓣宽度作为基带信号的近似带宽时, $B = 1/\tau = 1/T_s$ 称为谱零点带宽

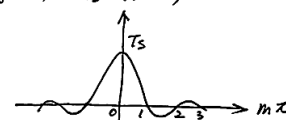
单极性功率谱: $P_s(f) = \frac{1}{4} f_s^2 \sum_{m=-\infty}^{\infty} |G(mf_s)|^2 \delta(f - mf_s) + \frac{1}{4} f_s |G(f)|^2$

离散谱 连续谱

∵ 当 $f = mf_s$, $G(mf_s) = T_s \text{Sa}(\pi mf_s T_s) = T_s \text{Sa}(m\pi)$

当 $m=0$, $G(mf_s) = T_s \neq 0$

$m \neq 0$ 左列, $G(mf_s) = 0$



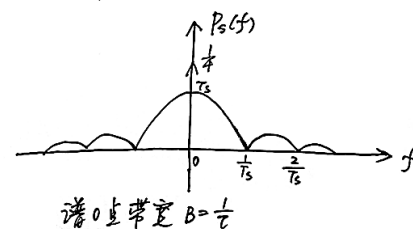
说明: 有直流分量 ($f=0$), 无谐波分量无定时.

∴ 离散谱: $P_v(f) = \frac{1}{4} \delta(f)$

连续谱: $P_u(f) = \frac{1}{4} f_s |G(f)|^2$

$= \frac{1}{4} f_s |T_s \text{Sa}(\pi f T_s)|^2$

$= \frac{1}{4} T_s \text{Sa}^2(\pi f T_s)$



$$P_s(f) = \frac{1}{4} f_s^2 \sum_{m=-\infty}^{\infty} |G(mf_s)|^2 \delta(f - mf_s) + \frac{1}{4} f_s |G(f)|^2$$

$$G(f) = \frac{T_s}{2} \text{Sa}(\pi f \frac{T_s}{2})$$

- 0、1等概的**单极归零**波形功率谱（1码的波形是半占空的矩形脉冲）
 $\tau = T_s / 2$

- 离散谱 $P_v(f) = \frac{1}{16} \sum_{m=-\infty}^{\infty} \text{Sa}^2(\frac{m\pi}{2}) \delta(f - mf_s)$

- 连续谱 $P_u(f) = \frac{T_s}{16} \text{Sa}^2(\frac{\pi f T_s}{2})$

- 有直流，有定时，以主瓣宽度作为基带信号的近似带宽时，谱零点带宽 $B = 1/\tau = 2/T_s$

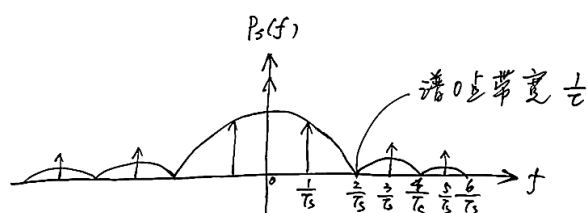
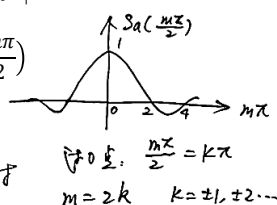
$$P_s(f) = \frac{1}{4} f_s^2 \sum_{m=-\infty}^{\infty} |G(mf_s)|^2 \delta(f - mf_s) + \frac{1}{4} f_s |G(f)|^2$$

当 $f = mf_s$ 时, $G(mf_s) = \frac{T_s}{2} \text{Sa}(\pi f \frac{T_s}{2}) = \frac{T_s}{2} \text{Sa}(\frac{m\pi}{2})$

$m=0$, $G(mf_s) = \frac{T_s}{2} \neq 0$ — 直流

m 为奇数, $G(mf_s) \neq 0$ — 奇次谐波, 含定时

m 为偶数, $G(mf_s) = 0$ — 无偶次谐波



带宽取决于连续谱, 取决于单码元之频谱。

$$\begin{aligned} P_s(f) &= P_v(f) + P_u(f) \\ &= f_s^2 \sum_{m=-\infty}^{\infty} |PG_1(mf_s) + (1-P)G_2(mf_s)|^2 \delta(f - mf_s) \\ &\quad + f_s \cdot P(1-P) |G_1(f) - G_2(f)|^2 \end{aligned}$$

■ 双极性波形功率谱

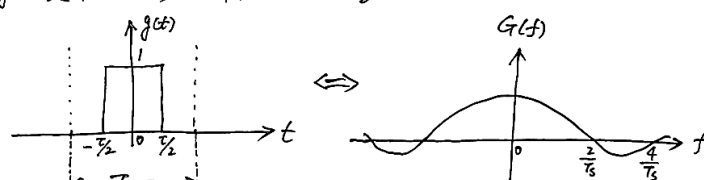
- 设 $\begin{cases} g_1(t) = g(t) & 1 \\ g_2(t) = -g(t) & 0 \end{cases} \begin{cases} g_1(t) \Leftrightarrow G(f) \\ g_2(t) \Leftrightarrow -G(f) \end{cases}$

- 0、1等概时的功率谱 $P_s(f) = f_s |G(f)|^2$

- 特点：无离散谱；连续谱取决于单个码元的频谱

■ 推导

若 $g(t)$ 是归零矩形脉冲, 半占空 $\tau = \frac{T_s}{2}$



$$G(f) = \tau \text{Sa}(\pi f \tau) = \frac{T_s}{2} \text{Sa}(\pi f \frac{T_s}{2})$$

零点: $\pi f \tau = k\pi$

$$f = \frac{k}{\tau}$$

$$f_0 = \frac{1}{\tau}$$

$$\frac{\pi f T_s}{2} = k\pi \quad (k = \pm 1, \pm 2, \dots)$$

$$f = \frac{2k}{T_s}$$

$$f_0 = \frac{2}{T_s}$$

■ 结论

- 脉冲宽度: τ

- 谱零点带宽: $B = \frac{1}{\tau}$

- 频带利用率: $\eta = \frac{R_B}{B} = \frac{1/T_s}{1/\tau} = \frac{\tau}{T_s}$

- 码元速率相同时, 单极性归零波频带利用率低, 但含有定时信息

$$P_s(f) = f_s |G(f)|^2$$

$$G(f) = \tau \text{Sa}(\pi f \tau) = T_s \text{Sa}(\pi f T_s)$$

- 0、1等概的**双极不归零**波形的功率谱（1、0码的波形是全占空的正负矩形脉冲）
 $\tau = T_s$

- 离散谱 $P_v(f) = 0$

- 连续谱 $P_u(f) = T_s \text{Sa}^2(\pi f T_s)$

- 特点：无直流，无定时，谱零点带宽

$$B = 1/\tau = 1/T_s$$

$$P_s(f) = f_s |G(f)|^2$$

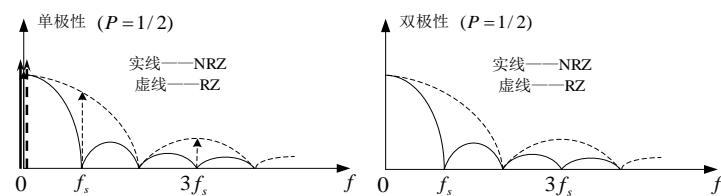
$$G(f) = \tau \text{Sa}(\pi f \tau) = \frac{T_s}{2} \text{Sa}\left(\pi f \frac{T_s}{2}\right)$$

- 0、1等概的**双极归零**波形的功率谱（1、0码的波形是半占空的正负矩形脉冲）

$$\tau = T_s / 2$$

- 离散谱 $P_v(f) = 0$
- 连续谱 $P_u(f) = \frac{T_s}{4} \text{Sa}^2\left(\frac{\pi f T_s}{2}\right)$
- 特点：无直流，无定时（接收时可提取位定时），谱零点带宽 $B = 1/\tau = 2/T_s$

单极性和双极性波形功率谱



结论

- 数字基带信号的功率谱包含连续谱（决定信号的带宽）和离散谱（决定信号是否包含直流和定时信息）
- 数字基带信号的带宽取决于单个码元的频谱
- 0、1等概的双极性码波形无直流，也无定时
- 单极性归零码波形有定时，对于不含位定时的码型要设法在接收端变成单极归零码波形
- 时域波形的占空比越小，信号所占用的频带越宽，频带利用率越低

6.3 基带传输的常用码型

传输码型的设计原则

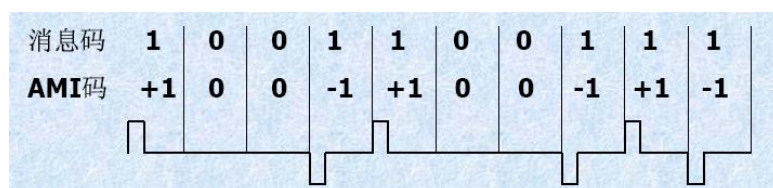
- 无直流，少低频
- 应含有丰富的定时信息
- 功率谱主瓣宽度窄，以节省传输频带
- 不受信息源统计特性的影响
- 减小误码扩散
- 具有内在的检错能力
- 编译码简单

常用传输码型

- 将数字序列 $\{a_n\}$ 经过码型设计变成传输码，也称线路编码
- 消息码元→传输码元→波形表示
 - AMI码
 - HDB₃码
 - 双相码
 -
 - nBmB码

AMI码

- 编码规则：“0”→0
“1”→交替变换+1和-1



- AMI码（传号交替反转码）对应的波形是具有正、负、零三种电平的脉冲序列，“伪三元码”

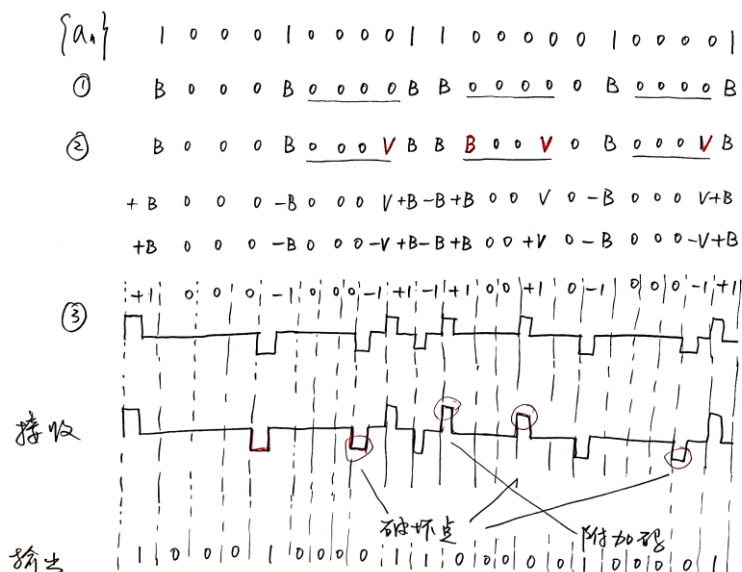


■ AMI码优点

- 无直流，功率谱少高、低频
- 译码可通过微分整流等电路提取定时
- 具有一定检错能力

■ 缺点

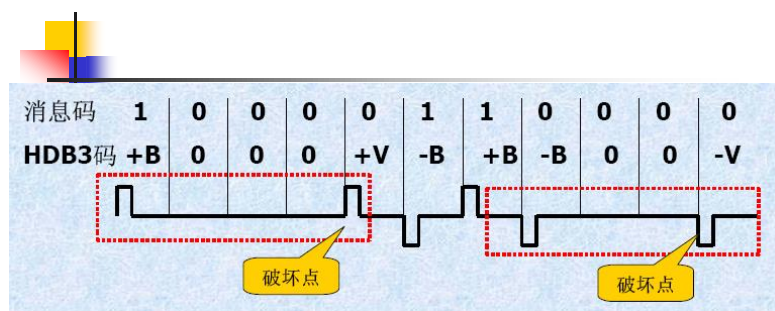
- 连0多时，定时不准



HDB₃码

■ 编码规则

- “0”→0, “1”→B
- 4个连“0”时, “0000”→000V或B00V, 保证相邻V间的B为奇数个
- 0编码为0
- B交替反转编码为+B和-B
- V与前一个B同极性, 编码为+V和-V
- V称为破坏点, B为附加码



- 对应的波形是具有正、负、零三种电平的脉冲序列
- 无直流，少高低频，有定时，编码复杂译码简单；用于PCM一次群至三次群

双相码

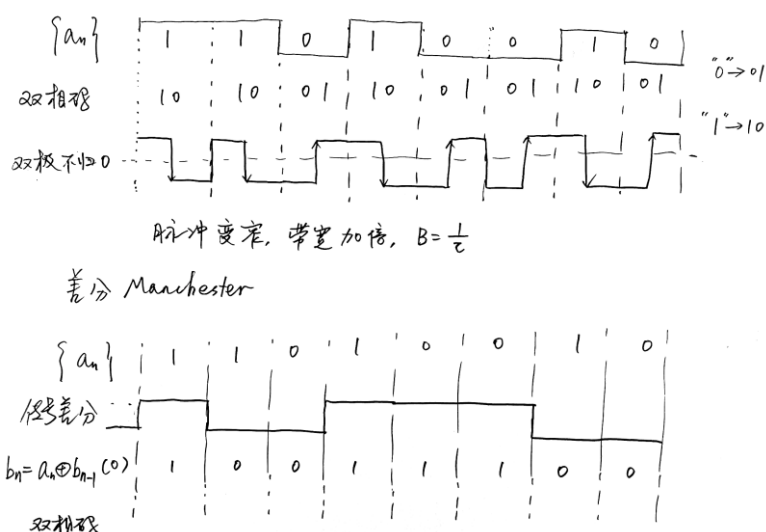
■ 曼彻斯特码 (Manchester)

■ 编码规则: “0”→01, “1”→10

■ 双极性不归零波形

■ 特点

- 优点是无直流，含有丰富的定时信息，编码简单；缺点是占用带宽加倍，使频带利用率降低；广泛用于数据通信（以太网差分曼彻斯特编码）

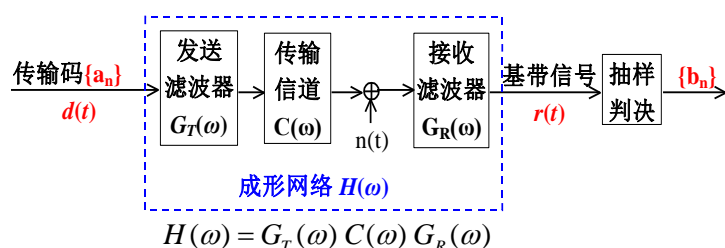


nBmB码

$$\eta = \frac{R_B}{B} = \frac{\frac{1}{T_s}}{\frac{1}{\tau}} = \frac{\tau}{T_s}$$

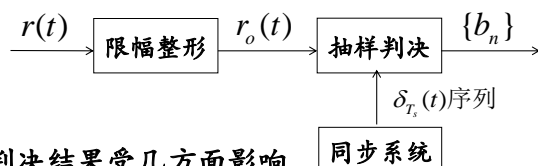
- 将原码流中 n 位码做为一个码组，变换成 m 位码做为一个新的码组， $m > n$ ，通过禁用码组达到检错效果，带宽增加
- 如：1B2B码（双相码、密勒码、CMI码），4B5B码（100M局域网），5B6B码（200M以上光纤传输使用）
- 码型变换不改变数字基带信号每个脉冲的形状，只改变脉冲的极性或持续时间，码元持续时间不变，脉冲压缩，带宽展宽**

基带系统模型



$$d(t) = \sum_{n=-\infty}^{\infty} a_n \delta(t - nT_s), \quad T_s \text{ 为码元宽度, } a_n \text{ 为码元幅度}$$

抽样判决电路

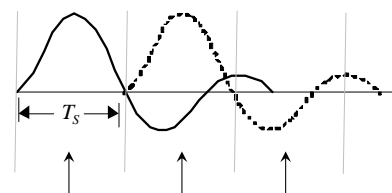


- 抽样判决结果受几方面影响**
 - 码间干扰 (ISI——Inter Symbol Interference)
 - 加性噪声
 - 抽样定时脉冲

6.4 基带信号传输与码间干扰

码间干扰(串扰)

- 信道特性不理想
 - 信道带宽受限
 - 多径效应



简化系统



- 若输入 $\delta(t)$ ，则输出 $\delta(t) * h(t) = h(t)$
- 波形设计就是对基带波形 $h(t)$ 的设计，也就是设计整个传输系统的特性 $H(\omega)$**
- 若基带信号频域特性与系统传输特性完全匹配，则输出无失真的基带波形

判决输出（不考虑噪声影响）

$$\text{若 } H(\omega) \text{ 输入 } d(t) = \sum_{n=-\infty}^{\infty} a_n \delta(t - nT_s)$$

$$\begin{aligned} \text{则 } H(\omega) \text{ 输出 } r(t) &= d(t) * h(t) \\ &= \sum_n a_n \delta(t - nT_s) * h(t) \\ &= \sum_n a_n h(t - nT_s) \end{aligned}$$

$$\begin{aligned} \text{则判决输出 } b_k &= r(kT_s) = \sum_n a_n h(kT_s - nT_s) \\ &= a_k h(0) + \sum_{\substack{n \\ n \neq k}} a_n h[(k - n)T_s] \end{aligned}$$

$$b_k = a_k h(0) + \sum_{\substack{n \\ n \neq k}} a_n h[(k-n)T_s]$$

$$\begin{cases} a_k h(0) = a_k \\ \sum_{\substack{n \\ n \neq k}} a_n h[(k-n)T_s] = 0 \end{cases}$$

$$h[(k-n)T_s] = \begin{cases} 1 & n=k \quad (k-n=0) \\ 0 & n \neq k \quad (k-n \neq 0) \end{cases}$$

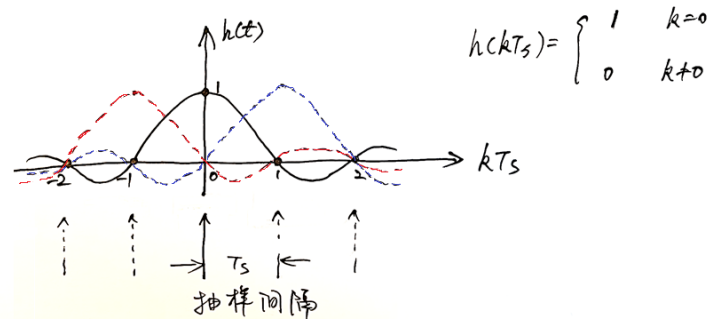
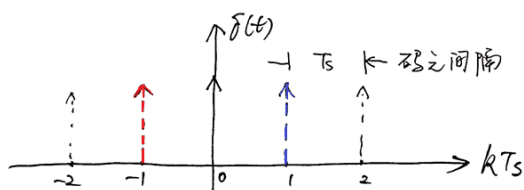
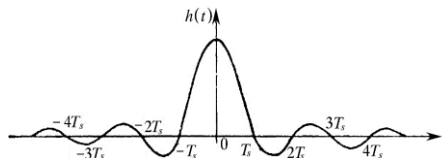
令 $k = k - n$

$$h(kT_s) = \begin{cases} 1 & k=0 \\ 0 & k \neq 0 \end{cases}$$

6.5 无码间干扰的基带传输特性

■ 时域条件

$$h(kT_s) = \begin{cases} 1 & k=0 \\ 0 & k \neq 0 \text{ 的整数} \\ \text{任意} & k = \text{小数} \end{cases}$$



$$Sa\left(\frac{\pi t}{T_s}\right) \Leftrightarrow H(\omega)$$

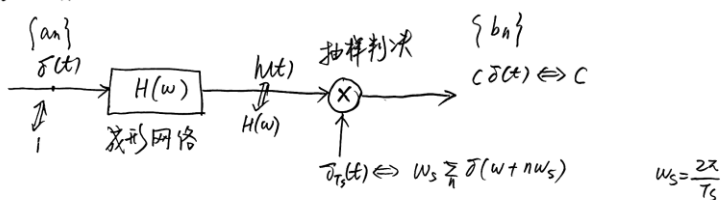
■ 频域条件

$$H_{eq}(\omega) = \begin{cases} \sum_{i=-\infty}^{\infty} H(\omega + \frac{2\pi}{T_s} i) = T_s & |\omega| \leq \frac{\pi}{T_s} \\ 0 & \text{else} \end{cases}$$

——奈奎斯特第一准则

$$\sum_{i=-\infty}^{\infty} H(f + \frac{1}{T_s} i) = K \quad |f| \leq \frac{1}{2T_s}$$

证明：在 $[-\frac{1}{2T_s}, \frac{1}{2T_s}]$ 内。



$$C = \frac{1}{2\pi} \left[H(\omega) + \sum_n \omega_s \delta(\omega + n\omega_s) \right] \quad -\frac{\omega_s}{2} \leq \omega \leq \frac{\omega_s}{2}$$

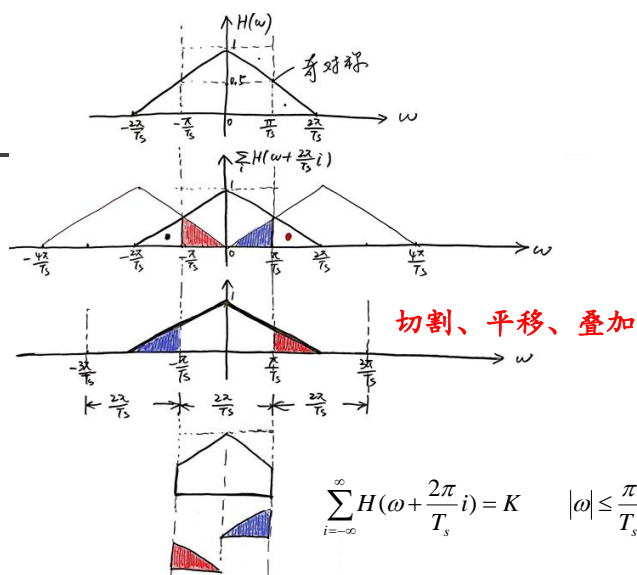
$$= \frac{1}{T_s} \sum_n H(\omega + n\omega_s)$$

$$\sum_n H(\omega + n\omega_s) = CT_s$$

$$\sum_n H(\omega + \frac{2\pi}{T_s} n) = K \quad |\omega| \leq \frac{\pi}{T_s}$$

■ 频域条件的物理意义

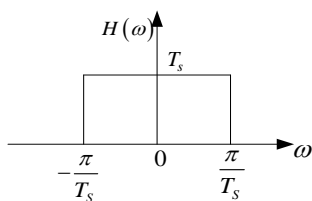
- 将 $H(\omega)$ 分割成宽度为 $2\pi/T_s$ (T_s 为码元间隔, $1/T_s$ 为码元速率) 的若干段, 再全部平移到 $(-\pi/T_s, \pi/T_s)$ 区间内叠加, 如果和为常数, 则信号在抽样时刻无码间干扰
- 一个实际的 $H(\omega)$ 特性若能等效成一个理想低通 $H_{eq}(\omega)$, 则可实现无码间干扰
- 奈奎斯特第一准则是无码间干扰的充要条件



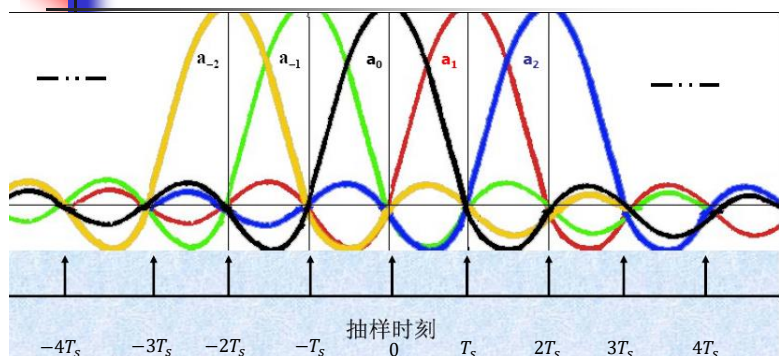
■ 无码间干扰的传输特性设计 (基带波形设计)

一. 理想低通特性

$$H(\omega) = H_{eq}(\omega) = \begin{cases} T_s & |\omega| \leq \frac{\pi}{T_s} \\ 0 & \text{else} \end{cases}$$

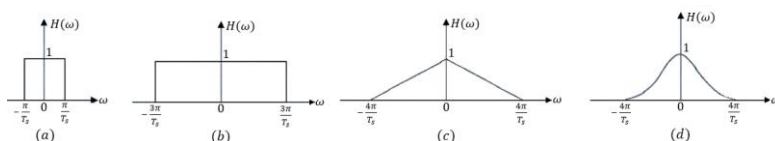


■ 基带信号抽样判决

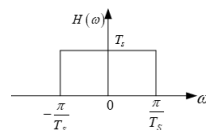


切割、平移、叠加

- 例：若传输速率为 $2/T_s$ baud，如图为几种基带传输系统，试分析各系统是否存在码间干扰？



$$\begin{aligned} H_{eq}(\omega) &= \sum_{i=-\infty}^{\infty} H\left(\omega + \frac{2\pi}{T_s} i\right) = K \quad \left|\omega\right| \leq \frac{\pi}{T_s} \\ &= \sum_{i=-\infty}^{\infty} H\left(\omega + \frac{4\pi}{T_s} i\right) = K \quad \left|\omega\right| \leq \frac{2\pi}{T_s} \end{aligned}$$

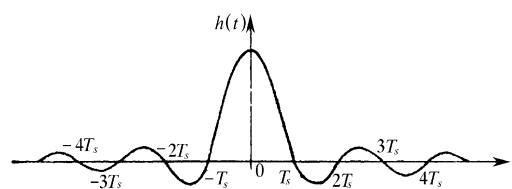


$$\begin{aligned} h(t) &= \frac{1}{2\pi} \cdot \frac{2\pi}{T_s} \cdot T_s \cdot \text{Sa}\left(t \cdot \frac{\pi}{T_s}\right) \\ \frac{\pi t}{T_s} &= k\pi \quad k = \pm 1, \pm 2, \dots \end{aligned}$$

■ 理想基带波形

$$h(t) = \text{Sa}\left(\frac{\pi t}{T_s}\right)$$

若在 $t = kT_s$ 抽样，则无码间干扰



$$\begin{aligned} \sum_{i=-\infty}^{\infty} H\left(f + \frac{1}{T_s} i\right) &= K \quad \left|f\right| \leq \frac{1}{2T_s} \\ H(f) &= K \quad \left|f\right| \leq \frac{1}{2T_s} \end{aligned}$$

■ 理想低通特性结论

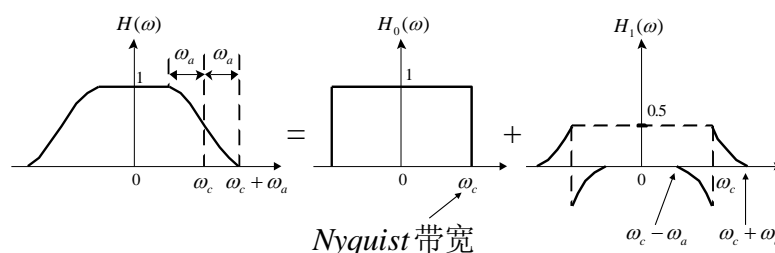
- 当理想低通特性信道带宽为 $B = 1/(2T_s) \text{ (Hz)}$ 时，若基带信号以 $R_B = 1/T_s \text{ (baud)}$ 进行传输，则无码间干扰，此码元速率为无码间干扰的最高速率，称为Nyquist速率，此时的带宽称为Nyquist带宽
- 最大频带利用率为 $\eta = 2 \text{ (baud / Hz)}$
- 问题：理想低通很难实现；基带波形拖尾长，收敛慢，定时不准时串扰大

满足无码间干扰的带宽称为Nyquist带宽，余弦滚降系统中为奇对称点

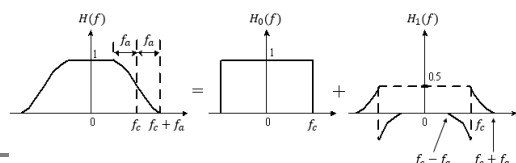
二. 余弦滚降特性

- 首先保证抽样时刻**无码间干扰**
- 总传输特性圆滑滚降，则**带宽展宽**
- 基带信号**码元速率不变**，波形拖尾收敛快，**定时误差影响小**
- 频带利用率达不到理论最大值

■ 余弦滚降频域特性



$$H(\omega) = H_0(\omega) + H_1(\omega)$$



- 定义**滚降系数** $\alpha = \frac{f_a}{f_c} \quad 0 \leq \alpha \leq 1$

- **系统带宽** $B = f_c + f_a = (1 + \alpha)f_c$
 $f_c = \frac{1}{2T_s}$ — Nyquist带宽

- **频带利用率**

$$\eta = \frac{\text{码元速率}}{\text{系统带宽}} = \frac{R_B}{B} = \frac{1/T_s}{(1 + \alpha)f_c} = \frac{2}{1 + \alpha}$$

■ 频域特性

$$H(\omega) = \begin{cases} 1 & |\omega| \leq \omega_c - \omega_a \\ \frac{1}{2} + \frac{1}{2} \sin \frac{\pi(\omega_c - \omega)}{2\omega_a} & \omega_c - \omega_a \leq |\omega| \leq \omega_c + \omega_a \\ 0 & |\omega| \geq \omega_c + \omega_a \end{cases}$$

■ 时域特性

$$h(t) = \frac{1}{T_s} \cdot \text{Sa}\left(\frac{\pi}{T_s} t\right) \cdot \frac{\cos \alpha \pi t / T_s}{1 - 4\alpha^2 t^2 / T_s^2}$$

$$h(t) = \frac{1}{T_s} \cdot \text{Sa}\left(\frac{\pi}{T_s} t\right) \cdot \frac{\cos \alpha \pi t / T_s}{1 - 4\alpha^2 t^2 / T_s^2}$$

- 当 $\alpha=0$ 时，即为理想低通特性
- 当 $\alpha=1$ 时，即为**升余弦**滤波器特性 ($\omega_a = \omega_c$)

$$H(\omega) = \begin{cases} \frac{1}{2} + \frac{1}{2} \cos \frac{\pi \omega}{2\omega_c} = \left(\cos \frac{\pi \omega}{4\omega_c} \right)^2 & |\omega| \leq 2\omega_c \\ 0 & \text{else} \end{cases}$$

$$h(t) = \frac{1}{T_s} \cdot \text{Sa}\left(\frac{\pi}{T_s} t\right) \cdot \frac{\cos \pi t / T_s}{1 - 4t^2 / T_s^2}$$

■ 升余弦谱的波形

$$h(t) = \frac{1}{T_s} \cdot \text{Sa}\left(\frac{\pi}{T_s} t\right) \cdot \frac{\cos \pi t / T_s}{1 - 4t^2 / T_s^2} \quad \left(t \neq \pm \frac{T_s}{2} \right)$$

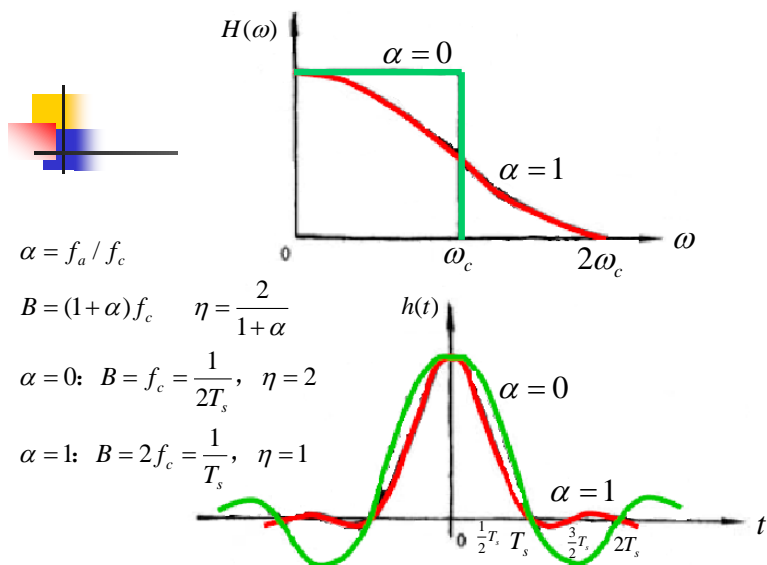
- $\text{Sa}\left(\frac{\pi}{T_s} t\right)$ 的过零点

$$\frac{\pi t}{T_s} = k\pi \quad t = kT_s, \quad k = \pm 1, \pm 2 \dots$$

- $\cos \frac{\pi}{T_s} t$ 的过零点

$$(k \neq 0, -1)$$

$$\frac{\pi t}{T_s} = k\pi + \frac{\pi}{2} \quad t = kT_s + \frac{1}{2}T_s, \quad k = 1, \pm 2 \dots$$



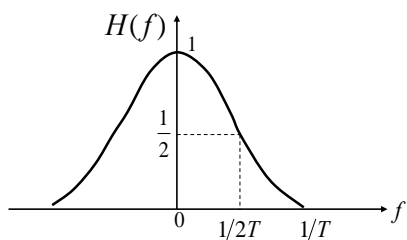
$$\eta = \frac{R_B}{B} = \frac{1/T_s}{B}$$

余弦滚降特性结论

- 系统带宽 $B = (1 + \alpha) f_c$
- 频带利用率 $\eta = \frac{2}{1 + \alpha}$
- 滚降系数 $\alpha (0 \leq \alpha \leq 1)$ 越大, 滚降越平缓, 系统频域特性越容易实现, 占用频带越宽, 频带利用率越低; 时域波形拖尾收敛越快, 有利于减小由于定时误差引起的码间干扰
- 设计通信系统时, 希望频带利用率高, 定时抖动对误码率影响小, 系统易于实现, 而它们对滚降系数的要求是矛盾的。

例: 基带传输系统总特性为升余弦滚降特性

- 求系统无码间干扰的最高传码率和频带利用率
- 若分别以 $2/3T$, $1/2T$, $1/T$, $3/4T$ 的码元速率传输数据, 哪些速率可消除码间干扰



切割、平移、叠加

解:

- 最高传码率即频率最大切割宽度
- $R_{Bmax} = \frac{1}{T} \text{ baud} \quad \eta_{max} = \frac{R_{Bmax}}{B} = 1 \text{ baud/Hz}$
- 首先排除 $> \frac{1}{T}$ 的码元速率, 即 $\frac{3}{4T}$ 速率有干扰
- 以 $\frac{1}{T}$ 速率通过系统显然无干扰
- $\frac{1}{T_s} = \frac{2}{3T}$ 有干扰, 切割宽度为 $\frac{2}{3T}$, 平移, 叠加范围 $(-\frac{1}{3T} \text{ Hz}, \frac{1}{3T} \text{ Hz})$
- $\frac{1}{T_s} = \frac{1}{2T}$ 无干扰, 切割宽度为 $\frac{1}{2T}$, 平移, 叠加范围 $(-\frac{1}{4T} \text{ Hz}, \frac{1}{4T} \text{ Hz})$

例: 理想低通信道的截止频率为3KHz, 分别传送以下的各类二进制信号, 求最高信息速率

- 理想低通谱型的信号
- $\alpha = 0.2$ 的余弦滚降信号 (谱型)
- 升余弦滚降信号 (谱型)
- 以矩形脉冲为基本波形的不归零信号
- 以半占空矩形脉冲为基本波形的归零信号

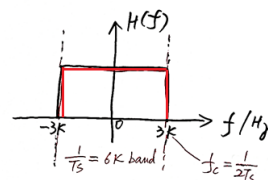
解: \because 二进制 $R_b = R_B, \eta = \frac{R_b}{B} = \frac{R_B}{B}, \therefore R_b = \eta \cdot B$

$\because B = 3 \text{ kHz} \quad \therefore$ 求 $\eta_{max} \rightarrow R_{Bmax}$

1) 理想低通谱型信号

$\therefore \eta_{max} = 2 \text{ baud/Hz} = 2 \text{ bps/Hz}$

$\therefore R_{Bmax} = \eta \cdot B = 2 \times 3 \text{ K} = 6 \text{ Kbps}$



2) $\alpha = 0.2$ 余弦滚降谱型信号

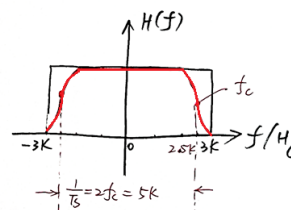
$\eta_{max} = \frac{2}{1 + \alpha} = \frac{2}{1 + 0.2} = \frac{5}{3} \text{ baud/Hz}$

$R_{Bmax} = \eta \cdot B = \frac{5}{3} \times 3 \text{ K} = 5 \text{ Kbps}$

$\therefore B = (1 + \alpha) f_c$

$3 \text{ K} = 1.2 f_c$

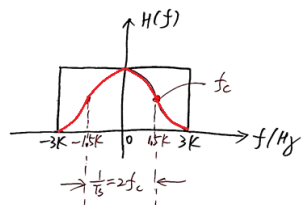
$\therefore f_c = 2.5 \text{ kHz}$



(3) 升余弦滚降信号 (谱型)

$$\alpha=1, \eta_{\max} = \frac{2}{1+\alpha} = 1 \text{ baud/Hz}$$

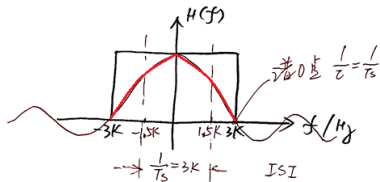
$$R_b = \eta \cdot B = 1 \times 3K = 3K \text{ bps}$$



(4) 不归零矩形脉冲信号

$$\eta = \frac{\tau}{T_s} = 1 \text{ baud/Hz}$$

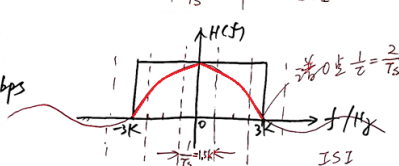
$$R_b = \eta \cdot B = 1 \times 3K = 3K \text{ bps}$$



(5) 半占空矩形脉冲信号

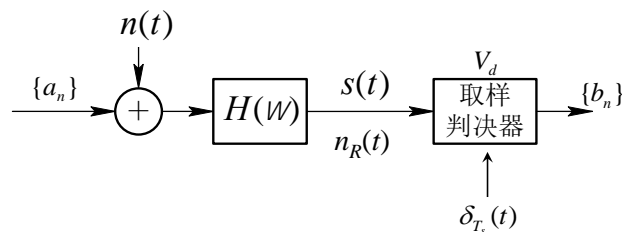
$$\eta = \frac{\tau}{T_s} = \frac{1}{2} \text{ baud/Hz}$$

$$R_b = \eta \cdot B = \frac{1}{2} \times 3K = 1.5K \text{ bps}$$



6.6 基带传输系统抗噪性能

- 在不考虑码间干扰的前提下，研究信道加性高斯白噪声对信号判决的影响，即误码率；抗噪性能分析即建立误码率与信噪比的关系。



假设

- 信道加性噪声 $n(t)$ 是均值为0，双边功率谱为 $n_0/2$ 的平稳高斯白噪声，成型网络是一个线性网络 $H(\omega) = G_T(\omega) \cdot C(\omega) \cdot G_R(\omega)$ ，故判决电路输入噪声 $n_R(t)$ 也是均值为0的平稳高斯噪声
- 设 $n_R(t)$ 是均值为0，方差为 σ_n^2 的高斯噪声

$$f(V) = \frac{1}{\sqrt{2\pi}\sigma_n} e^{-\frac{V^2}{2\sigma_n^2}}$$

二进制双极性基带系统

- 设二进制基带信号为双极性，若传输过程信号无损耗，无码间干扰，则信号在抽样时刻的电平取值为 $\pm A$ ，则抽样判决器输入的混合波形 $r(t) = s(t) + n_R(t)$ 在抽样时刻的取值

$$r(kT_s) = \begin{cases} A + n_R(kT_s), & \text{发送 "1" 时} \\ -A + n_R(kT_s), & \text{发送 "0" 时} \end{cases}$$

- 设判决门限为 V_d ，判决规则

$$\begin{cases} r(kT_s) \geq V_d & \text{判为 "1"} \\ r(kT_s) < V_d & \text{判为 "0"} \end{cases}$$

$$P_e = P(1)P_{e1} + P(0)P_{e0}$$

以误码率最小的原则确定判决门限

- 发送 "1" 时， $x = r(kT_s) = A + n_R(kT_s)$ 的概率分布

$$f_1(x) = \frac{1}{\sqrt{2\pi}\sigma_n} \exp\left[-\frac{(x-A)^2}{2\sigma_n^2}\right]$$

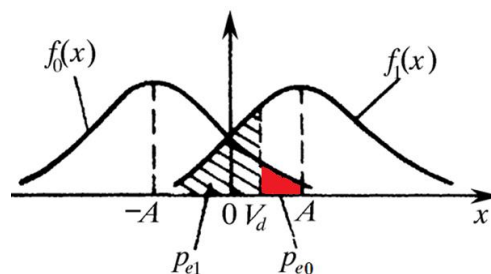
- 发送 "0" 时， $x = r(kT_s) = -A + n_R(kT_s)$ 的概率分布

$$f_0(x) = \frac{1}{\sqrt{2\pi}\sigma_n} \exp\left[-\frac{(x+A)^2}{2\sigma_n^2}\right]$$

$$P_e = P(1)P_{e1} + P(0)P_{e0}$$

$$\begin{cases} r(kT_s) \geq V_d & \text{判为 "1"} \\ r(kT_s) < V_d & \text{判为 "0"} \end{cases}$$

- 判决门限： $-A < V_d < A$
- 发1错判为0的概率为 $P_{e1} = P(0/1)$
- 发0错判为1的概率为 $P_{e0} = P(1/0)$



■ 误差函数

- 误差函数: $\text{erf}(x) = \frac{2}{\sqrt{\pi}} \int_0^x e^{-z^2} dz$
- 补误差函数: $\text{erfc}(x) = 1 - \text{erf}(x) = \frac{2}{\sqrt{\pi}} \int_x^\infty e^{-z^2} dz$
- 误差函数是奇函数 $\text{erf}(x) = -\text{erf}(-x)$
- 若 $x_1 < x_2$, 则 $\text{erfc}(x_1) > \text{erfc}(x_2)$

- 系统总误码率: $P_e = P(1)P_{e1} + P(0)P_{e0}$

- 当误码率最小时, 得到最佳门限电平

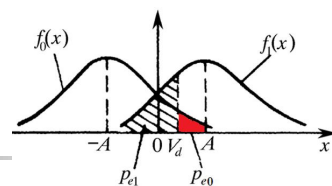
$$\frac{\partial P_e}{\partial V_d} = 0 \Rightarrow V_d^* = \frac{\sigma_n^2}{2A} \ln \frac{P(0)}{P(1)}$$

- 若0、1等概时, 双极性波形最佳门限 $V_d^* = 0$

$$\text{误码率: } P_e = \frac{1}{2} \text{erfc}\left(\frac{A}{\sqrt{2}\sigma_n}\right)$$

■ 本章小结

- 数字基带传输系统模型, 及主要解决的问题
- 数字基带信号及其频域特性分析结论
- 传输码型的常用几种编码方法
- 奈奎斯特第一准则的原理及应用
- 理想低通、余弦滚降的特性、设计思想、模型原理及相关指标计算
- 基带系统抗噪性能分析方法及结论



- 发“1”的误码率

$$P_{e1} = P(x < V_d) = \int_{-\infty}^{V_d} f_1(x) dx = \frac{1}{2} \text{erfc}\left(\frac{A - V_d}{\sqrt{2}\sigma_n}\right)$$

- 发“0”的误码率

$$P_{e0} = P(x \geq V_d) = \int_{V_d}^{\infty} f_0(x) dx = \int_{-\infty}^{-V_d} f_1(x) dx$$

$$= \frac{1}{2} \text{erfc}\left[\frac{A - (-V_d)}{\sqrt{2}\sigma_n}\right] = \frac{1}{2} \text{erfc}\left[\frac{A + V_d}{\sqrt{2}\sigma_n}\right]$$

$$\text{双极性: } P_e = \frac{1}{2} \text{erfc}\left(\frac{A}{\sqrt{2}\sigma_n}\right)$$

■ 二进制单极性基带系统

- 二进制基带信号为单极性波形, 在抽样时刻的电平取值为0和A

$$\text{最佳门限 } V_d^* = \frac{A}{2} + \frac{\sigma_n^2}{A} \ln \frac{P(0)}{P(1)}$$

- 0、1等概时, 最佳判决电平 $A/2$

$$\text{总误码率: } P_e = \frac{1}{2} \text{erfc}\left(\frac{A}{2\sqrt{2}\sigma_n}\right)$$

- 结论: 对同一系统, 信噪比越高, 误码率越低, 抗噪性能越好; 而在信噪比相同情况下, 双极性系统比单极性系统误码率低

■ 作业

- 阅读教材第六章内容
- 第六章习题
 - 1、2、3
 - 4、7、8 (和CMI码)
 - 11、12、13
 - 17、18